

LATITUDE Link™  
IDCO-SPEZIFIKATION

**LATITUDE Link™ -System**

Outdated version. Do not use.  
Version überholt. Nicht verwenden.  
Version obsolète. Ne pas utiliser.  
Versión obsoleta. No utilizar.  
Versione obsoleta. Non utilizzare.  
Verouderde versie. Niet gebruiken.  
Föråldrad version. Använd ej.  
Παλιά έκδοση. Μην χρησιμοποιείτε.  
Versão obsoleta. Não utilize.  
Forældet version. Må ikke anvendes.  
Zastaralá verze. Nepoužívat.  
Utdatert versjon. Skal ikke brukes.  
Zastaraná verzia. Nepoužívať.  
Elavult verzió. Ne használja!  
Wersja nieaktualna. Nie używać.

Outdated version. Do not use.  
Version überholt. Nicht verwenden.  
Version obsolète. Ne pas utiliser.  
Versión obsoleta. No utilizar.  
Versione obsoleta. Non utilizzare.  
Verouderde versie. Niet gebruiken.  
Föråldrad version. Använd ej.  
Παλιά έκδοση. Μην την χρησιμοποιείτε.  
Versão obsoleta. Não utilize.  
Forældet version. Må ikke anvendes.  
Zastaralá verze. Nepoužívat.  
Utdatert versjon. Skal ikke brukes.  
Zastaraná verzia. Nepoužívať.  
Elavult verzió. Ne használja!  
Wersja nieaktualna. Nie używać.

# INHALTSVERZEICHNIS

<b>Übersicht</b> .....	<b>1</b>
<b>IDCO-Nachricht – Spezifikation</b> .....	<b>1</b>
Segmentstruktur .....	1
MSH-Segment – Struktur .....	2
PID-Segment – Struktur .....	2
PV1-Segment – Struktur .....	2
OBR-Segment – Struktur .....	2
OBX-Segment – Struktur .....	3
NTE-Segment – Struktur .....	3
Gerätebericht .....	3
Grundlegende Begriffe .....	4
<b>Konvertierung der Daten von implantierten Geräten zu IDCO-Nachrichten</b> .....	<b>8</b>
Batteriestatus .....	8
Typ des Brady-Sensors .....	8
Episoden-Mapping .....	8
Episodenzähler-Mapping .....	9
Elektrodenkonfiguration-Mapping .....	10
Systemeinschränkungen .....	11
Gerätestatusinformationen .....	11
Berichte .....	11
<b>IDCO-Beispieldateien</b> .....	<b>12</b>

Outdated version. Do not use.  
Version überholt. Nicht verwenden.  
Version obsolète. Ne pas utiliser.  
Versión obsoleta. No utilizar.  
Versione obsoleta. Non utilizzare.  
Verouderde versie. Niet gebruiken.  
Föråldrad version. Använd ej.  
Παλιά έκδοση. Μην την χρησιμοποιείτε.  
Versão obsoleta. Não utilize.  
Forældet version. Må ikke anvendes.  
Zastaralá verze. Nepoužívat.  
Utdatert versjon. Skal ikke brukes.  
Zastaraná verzia. Nepoužívať.  
Elavult verzió. Ne használja!  
Wersja nieaktualna. Nie używać.

# Übersicht

Das LATITUDE Link™-System von Boston Scientific erstellt IDCO-Nachrichten (Implantable Device – Cardiac – Observation) gemäß den in diesem Dokument dargelegten Spezifikationen und Definitionen. Diese Nachrichten sind mit dem „Integrating the Healthcare Enterprise (IHE) Patient Care Device (PCD) Technical Framework IDCO“-Profil konform und dienen zur Übermittlung von Patientendaten an ein Elektronisches-Patienten-Register-System (EMR-System).

Das vorliegende Dokument ist für Kunden von Boston Scientific (BSC) bestimmt, die (1) IDCO-Nachrichten in ein EMR-System integrieren und (2) die EMR-Systeme für die Erfassung und Verwaltung von Patientendaten einsetzen. Der erste Abschnitt dieses Dokuments („IDCO-Nachricht – Spezifikation“) richtet sich primär an technisches Personal, das für Nachrichtenintegration zuständig ist, während der zweite Abschnitt hauptsächlich die Boston Scientific-Version der in der Nachricht enthaltenen Daten für klinische Anwender verdeutlichen soll.

**HINWEIS:** Es wird davon ausgegangen, dass der Leser dieses Abschnitts mit der Terminologie, der Spezifikationssyntax, den Datentypen und den Nachrichtenstrukturen von HL7 und IDCO sowie mit der Semantik von IDCO-Nachrichten vertraut ist. Weitere Informationen finden Sie unter:

- [www.hl7.org](http://www.hl7.org) für HL7-Nachrichten
- [www.ihe.net](http://www.ihe.net) für IDCO-Nachrichten
- [http://ihe.net/Technical\\_Framework/index.cfm#pcd](http://ihe.net/Technical_Framework/index.cfm#pcd) für PCD-09 Technical Framework (besteht aus Vol. 1, 2 und 3)
- <http://standards.ieee.org/findstds/standard/11073-10103-2012.html> für IEEE IDCO-Nomenklatur

## IDCO-Nachricht – Spezifikation

Die IDCO-Nachricht ist eine PCD-09-Nachricht entsprechend IHE PCD Technical Framework Revision 3.0, October 11, 2013. Gemäß dem technischen Rahmenwerk ist die Nachricht eine Standard-HL7 v2.6-Nachricht mit unangeforderten Bestellungen und Untersuchungen, die vom implantierten Gerät durchgeführte Untersuchungen enthält und unter Verwendung der ISO/IEEE 11073-10103:2014 IDC-Nomenklatur codiert wurde. Dieser internationale Standard beschreibt ein universelles Modell für die Kompatibilität elektronischer medizinischer Daten.

Werte, die in den nachfolgenden Tabellen in Anführungszeichen gesetzt sind, sind fest codiert und erscheinen immer wie dargestellt. Werte ohne Anführungszeichen stellen entweder ein Beispiel oder eine Beschreibung des Werts dar.

### Segmentstruktur

Alle gesendeten Daten entsprechen PCD-09. Die in diesem Abschnitt enthaltenen Informationen sollen die BSC-Ausgabe für IDCO-Nachrichten definieren. Diese Informationen sind nicht vollständig und dienen nicht dazu, die IDCO-Nomenklatur näher zu definieren.

## MSH-Segment – Struktur

Das MSH-Segment ist das erste Segment der IDCO-Nachricht. Es enthält Informationen über den Sender und Empfänger der Nachricht, den Nachrichtentyp, einen Zeitstempel usw.

ELEMENTNAME	SEQ	TEIL SEQ	WERT
Sendende Anwendung	3		„LATITUDE Link“
Sendende Einrichtung	4		„BOSTON SCIENTIFIC“
Empfangende Einrichtung	6		Krankenhausname
Zeichensatz	18		„UNICODE UTF-8“

## PID-Segment – Struktur

Das PID-Segment enthält Daten zur Patientenidentifizierung wie Name, ID-Code, Postleitzahl usw. Diese Informationen werden für den Patientenabgleich verwendet.

ELEMENTNAME	SEQ	TEIL SEQ	WERT
Namespace-ID	3	4	„BSX“

## PV1-Segment – Struktur

Das PV1-Segment (Falldaten) enthält Informationen zum behandelnden Arzt des Patienten.

ELEMENTNAME	SEQ	TEIL SEQ	WERT
Patientenstatus (Abrechnungsart)	2		„R“

## OBR-Segment – Struktur

OBR-Segmente sind die Abschnittsüberschriften für einzelne OBX-Abfrageinformationssegmente. Sie enthalten Daten wie Zeitstempel, Berichtkennung und eine einzigartige systemgenerierte Kennung.

ELEMENTNAME	SEQ	TEIL SEQ	BEISPIELWERT
Universelle Servicekennung	4		
Kennung		1	754050
Text		2	Siehe Hinweis 1
Datum/Uhrzeit der Untersuchung	7		20060429080005 Siehe Hinweis 2
Ergebnisstatus	25		„F“ Siehe Hinweis 3

## OBR – Hinweise

1. Der Text der universellen Servicekennung hat das Format MDC\_IDC\_ENUM\_SESS\_TYPE\_{Sitzungstyp} (z. B. MDC\_IDC\_ENUM\_SESS\_TYPE\_InClinic).
2. „Datum/Uhrzeit der Untersuchung“ zeigt den Zeitstempel der Abfrage des implantierten Geräts an. Der Zeitstempel einer in der Praxis oder Klinik durchgeführten Abfrage entstammt der Zeitangabe des PRM.
3. Der Ergebnisstatus lautet „F“ (Endergebnisse).

## OBX-Segment – Struktur

OBX-Segmente enthalten Daten, die während der letzten Geräteabfrage gesammelt wurden.

ELEMENTNAME	SEQ	TEIL SEQ	BEISPIELWERT
Status des Untersuchungsergebnisses	11		„F“ Siehe Hinweis 1
Datum/Uhrzeit der Untersuchung	14		20060317 Siehe Hinweis 2

## OBX – Hinweise

1. Der Ergebnisstatus lautet „F“ (Endergebnisse).
2. Das Datum der Messung wird angegeben, wenn das Datum der Messung vom Untersuchungsdatum im OBR abweicht.

## Ausgabeparameter

- Zeichenfolgen werden in der konfigurierten Sprache gesendet.
- Zahlenwerte werden immer mit dem Punkt „.“ als Dezimalzeichen gesendet.

## NTE-Segment – Struktur

- S-ICD-Geräte
  - Das erste NTE-Segment enthält Einstellungsinformationen im Format *Bezeichner: Wert*, wobei die einzelnen Einstellungen durch einen Zeilenumbruch (\.br\) voneinander getrennt sind. Beispiel:  
NTE|1||Wahrnehmungskonfiguration: Primär\.br\Verstärkungseinstellung:  
2X\.br\  
Post-Schock-Stimulation: EIN
  - Liegen Gerätestatusinformationen vor, enthält das zweite NTE-Segment sämtliche dieser Informationen zum Gerätestatus. Beispiel:  
NTE|2||Das Gerät bedarf sofortiger Aufmerksamkeit.\.br\|.br\  
Boston Scientific – BD kontaktieren.\.br\|.br\Amerika: 1.800.CARDIAC  
(227.3422) oder +1.651.582.4000\.br\Europa, Naher Osten, Afrika:  
+32 2 416 7222\.br\Asien und Pazifik-Anrainer-Staaten: +61 2 8063 8299
- Alle anderen Geräte
  - Liegen Gerätestatusinformationen vor, gibt es für jede Gerätestatusinformation ein eigenes NTE-Segment.

## Gerätebericht

- In ein einzelnes OBX-Segment der Nachricht kann eine einzelne PDF-Datei mit einem oder mehreren Geräteberichten eingebettet werden.

## Grundlegende Begriffe

In der nachfolgenden Tabelle sind die Nomenklatur-Begriffe aufgeführt, die in einer BSC IDCO-Nachricht enthalten sein können.

<b>PREPEND MDC_IDC_DEV</b>	<b>Implantierbares kardiales Gerät</b>
_TYPE	Typ
_MODEL	Modell
_SERIAL	Seriennummer
_MFG	Hersteller
_IMPLANT_DT	Dat. Implant.
<b>PREPEND MDC_IDC_LEAD</b>	<b>Implantierbare Elektrode – Attribute</b>
_MODEL	Modell
_SERIAL	Seriennummer
_MFG	Hersteller
_IMPLANT_DT	Dat. Implant.
_POLARITY_TYPE	Polaritätstyp
_LOCATION	Lage
_LOCATION_DETAIL_1	Lagedetail 1
<b>PREPEND MDC_IDC_SESS</b>	<b>Abfragesitzung</b>
_DTM	Abfragesitzung – Datum/Uhrzeit
_TYPE	Abfragesitzung – Typ
_CLINIC_NAME	Krankenhausname
_CLINICIAN_CONTACT_INFORMATION	Kontaktinformationen des klinischen Anwenders
<b>PREPEND MDC_IDC_MSMT</b>	<b>Messungen</b>
<b>_BATTERY</b>	<b>Batteriemessungen</b>
_DTM	Datum und Uhrzeit der Messungen
_BATTERY_STATUS	Status
_BATTERY_REMAINING_LONGEVITY	Verbleibende Funktionsdauer
_BATTERY_REMAINING_PERCENTAGE	Verbleibender Prozentsatz
<b>_CAP</b>	<b>Messungen</b>
_CHARGE_DTM	Letzter Ladevorgang – Datum/Uhrzeit
_CHARGE_TIME	Ladezeit
_CHARGE_TYPE	Ladetyp
_CHARGE_ENERGY	Ladeenergie
<b>_LEADCHNL_[CHAMBER]</b>	<b>Elektrodenkanal – Messungen</b>
_DTM_[STRTEND]	Datum und Uhrzeit der Messungen
_LEAD_CHANNEL_STATUS	Status



<b>PREPEND MDC_IDC_MSMT</b>	<b>Messungen</b>
<b>_LEADCHNL_[CHAMBER]_SENSING</b>	<b>Elektrodenkanal – Detektionsmesswerte</b>
_INTR_AMPL_[MMM]	Intrinsische Detektionsamplitude
_POLARITY	Detektionspolarität
<b>_LEADCHNL_[CHAMBER]_PACING_THRESHOLD</b>	<b>Elektrodenkanal – Messungen Stimulationsreizschwelle</b>
_AMPLITUDE	Amplitude
_PULSEWIDTH	Impulsdauer
_MEASUREMENT_METHOD	Messmethode
_POLARITY	Polarität
<b>_LEADCHNL_[CHAMBER]_IMPEDANCE</b>	<b>Elektrodenkanal – Impedanzmessungen</b>
_VALUE	Wert
_POLARITY	Polarität
<b>_LEADHVCHNL</b>	<b>Hochspannungs-Elektrodenkanal – Messungen</b>
_DTM_[STRT]	Datum/Uhrzeit
_IMPEDANCE	Impedanz
_MEASUREMENT_TYPE	Messungstyp
_STATUS	Status
<b>PREPEND MDC_IDC_SET</b>	<b>Einstellungen</b>
<b>_CRT</b>	<b>CRT-Einstellungen</b>
_LVRV_DELAY	LV-RV-Verzögerung
_PACED_CHAMBERS	Ventrikuläre Kammern, die während der CRT-Stimulation stimuliert werden
<b>_LEADCHNL_[CHAMBER]_SENSING</b>	<b>Elektrodenkanal-Einstellungen</b>
_SENSITIVITY	Empfindlichkeit
_POLARITY	Polarität
_ANODE_LOCATION_[1..3]	Anodenlage
_ANODE_ELECTRODE_[1..3]	Anodenstecker
_CATHODE_LOCATION_[1..3]	Kathodenlage
_CATHODE_ELECTRODE_[1..3]	Kathodenstecker
_ADAPTATION_MODE	Adaptionsmodus
<b>_LEADCHNL_[CHAMBER]_PACING</b>	<b>Elektrodenkanaleinstellungen – Stimulation</b>
_AMPLITUDE	Amplitude
_PULSEWIDTH	Impulsdauer
_PACING_POLARITY	Polarität
_ANODE_LOCATION_[1..3]	Anodenlage
_ANODE_ELECTRODE_[1..3]	Anodenstecker

<b>_LEADCHNL_[CHAMBER]_PACING</b>	<b>Elektrodenkanaleinstellungen – Stimulation</b>
_CATHODE_LOCATION_[1..3]	Kathodenlage
_CATHODE_ELECTRODE_[1..3]	Kathodenstecker
_CAPTURE_MODE	Aufzeichnungsmodus
<b>_BRADY</b>	<b>Brady-Einstellungen</b>
_MODE	Modus (NBG-Code)
_LOWRATE	Untere Grenzfrequenz
_SENSOR_TYPE	Sensortyp
_MAX_TRACKING_RATE	Maximale Trackingfrequenz
_MAX_SENSOR_RATE	Maximale Sensorfrequenz
_SAV_DELAY_[HIGHLOW]	SAV-Verzögerung
_PAV_DELAY_[HIGHLOW]	PAV-Verzögerung
_AT_MODE_SWITCH_MODE	AT Mode Switch-Modus
_AT_MODE_SWITCH_RATE	AT Mode Switch-Frequenz
<b>_TACHYTHERAPY</b>	<b>Tachy-Therapie-Einstellungen</b>
_VSTAT	Ventrikulärer Status
<b>_ZONE</b>	<b>Zoneneinstellungen</b>
_TYPE	Typkategorie
_VENDOR_TYPE	Anbietertypkategorie
_STATUS	Status
_DETECTION_INTERVAL	Detektionsintervall
_DETECTION_DETAILS	Detektionsdetails
_TYPE_ATP_[1..10]	ATP-Typ
_NUM_ATP_SEQS_[1..10]	Anzahl der ATP-Sequenzen
_SHOCK_ENERGY_[1..10]	Schockenergie
_NUM_SHOCKS_[1..10]	Anzahl der Schocks
<b>PREPEND MDC_IDC_STAT</b>	<b>Statistiken</b>
_DTM_[STRTEEND]	Statistik – Datum/Uhrzeit
<b>_AT</b>	<b>„Atrial Tachy“-Statistik</b>
_DTM_[STRTEEND]	Datum/Uhrzeit
_BURDEN_PERCENT	AT/AF Burden – Prozent
<b>_BRADY</b>	<b>Brady-Statistiken</b>
_DTM_[STRTEEND]	Datum/Uhrzeit
_RA_PERCENT_PACED	RA Prozent stimuliert
_BRADY_RV_PERCENT_PACED	RV Prozent stimuliert

<b>_CRT</b>	<b>CRT-Statistiken</b>
_DTM_[STRTEND]	Datum/Uhrzeit
_LV_PERCENT_PACED	LV Prozent stimuliert
<b>PREPEND MDC_IDC_STAT</b>	<b>Statistiken</b>
<b>_TACHYTHERAPY</b>	<b>„Tachy-Therapie“-Statistik</b>
_SHOCKS_DELIVERED_RECENT	Letzte abgegebene Schocks
_RECENT_DTM_[STRTEND]	Letzte(s) Datum/Uhrzeit
_SHOCKS_DELIVERED_TOTAL	Gesamtzahl abgegebener Schocks
_TOTAL_DTM_[STRTEND]	Datum/Uhrzeit – Gesamt
_SHOCKS_ABORTED_RECENT	Letzte abgebrochene Schocks
_SHOCKS_ABORTED_TOTAL	Gesamtzahl abgebrochener Schocks
_ATP_DELIVERED_RECENT	Zuletzt abgegebene ATP-Therapie
_ATP_DELIVERED_TOTAL	Gesamtzahl abgegebener ATP-Therapien
<b>_EPISODE</b>	<b>Episodenstatistik</b>
_TYPE	Typkategorie
_TYPE_INDUCED	Induzierter Typ
_VENDOR_TYPE	Anbietertypkategorie
_RECENT_COUNT	Letzte Zahl
RECENT_COUNT_DTM_[STRTEND]	Letzte(s) Datum/Uhrzeit
_TOTAL_COUNT	Gesamtzahl
_TOTAL_COUNT_DTM_[STRTEND]	Datum/Uhrzeit – Gesamt
<b>PREPEND MDC_IDC_EPISODE</b>	<b>Episode</b>
_ID	Kennung
_DTM	Datum/Uhrzeit
_TYPE	Typkategorie
_TYPE_INDUCED	Induzierter Typ-Markierung
_VENDOR_TYPE	Anbietertypkategorie
_ATRIAL_INTERVAL_AT_DETECTION	Detektionsintervall atrial
_VENTRICULAR_INTERVAL_AT_DETECTION	Detektionsintervall ventrikulär
_DETECTION_THERAPY_DETAILS	Details zu Detektion und Therapie
_DURATION	Dauer

# Konvertierung der Daten von implantierten Geräten zu IDCO-Nachrichten

## Batteriestatus

Die aufgeführten Batterieparameter werden folgendermaßen dem BSC-Batteriestatus zugeordnet:

BSC-BATTERIESTATUS (S-ICD-Geräte)	BSC-BATTERIESTATUS (Alle anderen Geräte)	IDCO-BATTERIESTATUS
>10 % verbleibend bis ERI	BOL	BOS
<= 10 % verbleibend bis ERI	OY	MOS
ERI	ERI	RRT
EOL	EOL	EOS

## Typ des Brady-Sensors

Der Typ des Bradysensors wird wie in der nachfolgenden Tabelle dargestellt gesendet.

GESENDETER WERT FÜR DIE VARIABLE SET_BRADY_SENSOR_TYPE (BASIERT AUF DER KONFIGURATION DES IMPLANTIERTEN GERÄTS)	EINSTELLUNG IMPLANTIERTES GERÄT
„Akzelerometer“	Nur Akzelerometer
„Atemminutenvolumen“	Nur AMV
„Akzelerometer + AMV“	Akzelerometer und AMV

Die obigen Werte werden nur gesendet, wenn die Frequenz vom Sensor gesteuert werden kann (d. h. sie werden nicht gesendet, wenn sich der Sensor in einem reinen Überwachungsstatus befindet).

Die obigen Werte werden nur gesendet, wenn die Frequenz im normalen Brady-Modus oder in ATR gesteuert werden kann (d. h. der Wert gibt nicht einfach nur den normalen Brady-Modus wieder).

Beachten Sie, dass „Nur ATR“ in Berichten angezeigt werden kann, wenn der ATR-Modus ein Modus mit Frequenzanpassung ist; der normale Brady-Modus bietet keine Frequenzanpassung. In diesem Fall wird für den ATR-Modus weiterhin der Text (z. B. „Akzelerometer“) gesendet. Der Benutzer kann den Brady-Modus und den ATR-Modus prüfen und festlegen, dass die Frequenzanpassung nur für ATR gilt.

## Episoden-Mapping

Episoden, Zähler usw. werden relativ zu den Informationen gesendet, die in der Abfrage enthalten sind. Zu Anfang und in einer nachfolgenden erneuten Sendung werden dieselben Informationen gesendet, auch wenn eine Abfrage dazwischen liegt. Episoden werden in einer Kombination von normativen und anbieterspezifischen Typen dargestellt. Bestimmte Boston Scientific Episodentypen können in der aktuellen IDCO-Nomenklatur nicht eindeutig dargestellt werden.

BSC-EPIODEN-ID	BSC-EPIODENTYP	NORMATIVER IDCO-EPIODENTYP	ANBIETERSPEZIFISCHER IDCO-EPIODENTYP
<Episodenummer>	Behandelt	VF	BSX-Zone_VF
<Episodenummer>	Unbehandelt	Sonstige	Siehe <b>Hinweis 1</b>

**Hinweis 1:** Die Nachricht enthält den anbieterspezifischen Episodentyp OBX mit einem leeren Untersuchungswert.

## Episodenzähler-Mapping

Episodenzähler werden in einer Kombination von normativen und anbieterspezifischen Typen dargestellt. Bestimmte Boston Scientific Zähler können in der aktuellen IDCO-Nomenklatur nicht eindeutig dargestellt werden. Die gesendeten Zählerwerte umfassen die Zählerwerte seit der letzten Nachsorgeuntersuchung sowie die Zählerwerte seit der Implantation.

BSC-EPISODENZÄHLER	STATISTISCHER NORMATIVER IDCO-EPISODENTYP	STATISTISCHER ANBIETERSPEZIFISCHER IDCO-EPISODENTYP
Behandelt	VF	BSX-Epis_VF
Unbehandelt	Sonstige	Siehe <b>Hinweis 1</b>
VT (V>A)	VT	BSX-Epis_VT
Tachy	VT	BSX-Epis_VT
NonSust	VT	BSX-Epis_NSVT
NonSustV	VT	BSX-Epis_NSVT
SVT (V≤A)	SVT	BSX-Epis_SVT
ATR	AT/AF	BSX-Epis_ATR
MRT	Sonstige	Keine
VF	VF	BSX-Epis_VF
VT	VT	BSX-Epis_VT
VT-1	VT	BSX-Epis_VT-1
Keine Therapie programmiert	Monitor	Keine
Andere nicht behandelte	Sonstige	Keine

**Hinweis 1:** Die Nachricht enthält den anbieterspezifischen Zähler OBX mit einem leeren Untersuchungswert.

## Elektrodenkonfiguration-Mapping

Die nachfolgende Tabelle erläutert, wie IDCO und BSC Elektroden mit mehreren Elektrodenpolen definieren. Diese Tabelle soll nicht vollständig sein, sondern enthält nur Aufzählungen, die möglicherweise nicht allgemein bekannt sind.

Die von BSC verwendeten Definitionen wurden so gewählt, dass sie mit dem Programmier-/Aufzeichnungs-/Überwachungsgerät (PRM) und der LATITUDE-Website konsistent sind.

BSC-ELEKTRODENPOLNAME	POSITION IDCO-ELEKTRODENPOL	IDCO-ELEKTRODENPOLNAME
Gehäuse	Sonstige	Gehäuse
LVTip1	LV	Spitze
LVRing2	LV	Ring1
LVRing3	LV	Ring2
LVRing4	LV	Ring3

MDC\_IDCO\_ENUM\_ELECTRODE\_LOCATION (Lage der Stimulations-/Detektions-Anode/Kathoden) enthält derzeit keine Aufzählung für die Tasche (d. h. Gehäuse). Die Position wird als „Sonstige“ und der Elektrodenpol als „Gehäuse“ gesendet.

Der Status „Überprüfen Elektrode“ gibt ein mögliches Problem mit der Elektrode an; wenn kein Status „Überprüfen Elektrode“ angezeigt wird, bedeutet das nicht, dass die Elektrode ordnungsgemäß arbeitet. Der Status „Überprüfen Elektrode“ wird gesendet, wenn einer der folgenden Statusindikatoren vorliegt:

- S-ICD-Geräte
  - Hohe Elektrodenpolimpedanz
- Alle anderen Geräte
  - Sicherheits-Umschaltung
  - Impedanz außerhalb der Grenzwerte
  - Amplitude außerhalb der Grenzwerte
  - Niedrige Schock-Impedanz
  - Hohe Schock-Impedanz
  - Hochspannung während des Ladens
  - Automatischer Reizschwellenwert ausgesetzt oder Reizschwellenwert größer als programmiert

In der aktuellen IDCO-Nomenklatur ist für MSMT\_LEADCHNL\_[CHAMBER] (d. h. Elektrodenkanalmessungen wie intrinsische Amplitude, Elektrodenimpedanz, Stimulationsreizschwelle) nur ein Zeitstempelbereich für alle Messungen (d. h. nicht ein Bereich pro Messung) möglich. Wenn die Messzeiten unterschiedlich sind, wird ein Zeitstempelbereich gesendet (d. h. MIN, MAX), der die Uhrzeit aller drei Messungen einschließt. Weiterhin sind die gesendeten Werte für die IDCO-Nomenklatur ein IDCO MEAN-Wert. Die Werte sind jedoch einzelne Messwerte und keine Mittelwerte des Zeitstempelbereichs.

## Systemeinschränkungen

- Die IDCO-Nomenklatur definiert nicht alle im implantierbaren Gerät verfügbaren Daten. Bestimmte nicht definierte Daten werden unter Verwendung der ähnlichsten der in IDCO verfügbaren Repräsentationen gesendet. Beispiele:
  - Bei Brady-Geräten werden Informationen zur VT-Zone gesendet, als ob Brady-Geräte über eine VT-Zone verfügten.
  - Bei S-ICD-Geräten wird die Schockzone als VF-Zone und die bedingte Schockzone als VT-Zone gesendet.
  - Die in der Nachricht enthaltenen Elektrodenmesswerte umfassen Messwerte entsprechend der folgenden Priorität:
    1. In der Praxis oder Klinik durchgeführte Messungen
    2. Letzte tägliche Messungen
    3. POST-Messungen
- Die korrekte Weitergabe von Daten zum implantierten Gerät und Gerätestatusmitteilungen hängt davon ab, dass die Uhr des implantierten Geräts mit einem Programmiergerät korrekt programmiert wurde. Die korrekte Weitergabe kann auch noch einige Zeit gestört sein, nachdem der Zeitgeber des implantierten Geräts richtig programmiert wurde. Dies hängt davon ab, welche Menge an Daten mit falscher Zeitangabe empfangen wurden und wie groß die Zeitdifferenz durch den Fehler ist.
- Die Zeichenfolgen werden in der für die Klinik konfigurierten Sprache gesendet.

## Gerätestatusinformationen

Vom Aggregat stammende Gerätestatusinformationen werden als Hinweise in die Nachrichten aufgenommen, die möglicherweise in einem EMR angezeigt werden.

## Berichte

### Gerätebericht

Je nach Konfiguration der LATITUDE Link-Anwendung kann eine einzelne PDF-Datei mit einem oder mehreren Geräteberichten in die Nachricht eingebettet werden.

# IDCO-Beispieldateien

Die folgenden IDCO-Beispieldateien zeigen, wie eine Boston Scientific IDCO-Nachricht aussehen kann. Dies sind nur Beispiele von vielen möglichen Formen. Die Daten innerhalb der Beispielnachrichten sind hypothetisch, und nicht alle IDCO-Begriffe sind repräsentiert.

## Beispielnachricht 1 – S-ICD-Gerät

```
MSH|^~\&|LATITUDE Link|BOSTON SCIENTIFIC||Clinic
Name|201407151441+0000||ORU^R01^ORU_R01|26000320140715144112|P|2.6|UNICODE UTF-
8|de^German||IHE_PCD_009^IHE_PCD^1.3.6.1.4.1.19376.1.6.1.9.1^ISO
PID|1||model:1010/serial:474^^^BSX^U||Smith^John||U
PV1|1|R
OBR|1||G21234|754050^MDC_IDC_ENUM_SESS_TYPE_InClinic^MDC||201311260000-
0600|||||F
NTE|1||Wahrnehmungskonfiguration: Alternativ\br\Verstärkungseinstellung: 1X\br\Post
Shock Pacing: ON
NTE|2||Das Aggregat erfordert eine sofortige Überprüfung.\br\\\br\Boston Scientific
benachrichtigen - BD.\br\\\br\Amerika: 1.800.CARDIAC (227.3422) oder
+1.651.582.4000.\br\Europa, Nahost, Afrika: +32 2 416 7222.\br\Asien-Pazifik: +61 2
8063 8299
OBX|1|DTM|721025^MDC_IDC_SESS_DTM^MDC||201311260000-0600|||||F
OBX|2|CWE|721026^MDC_IDC_SESS_TYPE^MDC||754050^MDC_IDC_ENUM_SESS_TYPE_InClinic^MDC|||||F
OBX|3|ST|721031^MDC_IDC_SESS_CLINICIAN_NAME^MDC||Dr. No|||||F
OBX|4|ST|721032^MDC_IDC_SESS_CLINICIAN_CONTACT_INFORMATION^MDC||1-800-CARDIAC|||||F
OBX|5|DTM|721216^MDC_IDC_MSMT_BATTERY_DTM^MDC||201311260000-0600|||||F
OBX|6|CWE|721280^MDC_IDC_MSMT_BATTERY_STATUS^MDC||754113^MDC_IDC_ENUM_BATTERY_STATUS_B
OS^MDC|||||F
OBX|7|NM|721536^MDC_IDC_MSMT_BATTERY_REMAINING_PERCENTAGE^MDC||48%|||||F
OBX|8|ST|739536^MDC_IDC_EPISODE_ID^MDC|1|01|||||F
OBX|9|DTM|739552^MDC_IDC_EPISODE_DTM^MDC|1|20131026082822|||||F
OBX|10|CWE|739568^MDC_IDC_EPISODE_TYPE^MDC|1|754888^MDC_IDC_ENUM_EPISODE_TYPE_Epis_Oth
er^MDC|||||F
OBX|11|CWE|739600^MDC_IDC_EPISODE_VENDOR_TYPE^MDC|1|||||F
OBX|12|CWE|739584^MDC_IDC_EPISODE_TYPE_INDUCED^MDC|1|755330^MDC_IDC_ENUM_EPISODE_TYPE_
INDUCED_NO^MDC|||||F
OBX|13|NM|739712^MDC_IDC_EPISODE_DURATION^MDC|1|168430090|s|||||F
OBX|14|ST|739680^MDC_IDC_EPISODE_DETECTION_THERAPY_DETAILS^MDC|1|UNBEHANDELTE
EPISODE|||||F
OBX|15|ST|739536^MDC_IDC_EPISODE_ID^MDC|2|1|||||F
OBX|16|DTM|739552^MDC_IDC_EPISODE_DTM^MDC|2|20131026082822|||||F
OBX|17|CWE|739568^MDC_IDC_EPISODE_TYPE^MDC|2|754881^MDC_IDC_ENUM_EPISODE_TYPE_Epis_VF^
MDC|||||F
OBX|18|CWE|739600^MDC_IDC_EPISODE_VENDOR_TYPE^MDC|2|771073^MDC_IDC_ENUM_EPISODE_VENDOR
_TYPE_BSX-Epis_VF^MDC|||||F
OBX|19|CWE|739584^MDC_IDC_EPISODE_TYPE_INDUCED^MDC|2|755330^MDC_IDC_ENUM_EPISODE_TYPE_
INDUCED_NO^MDC|||||F
OBX|20|NM|739712^MDC_IDC_EPISODE_DURATION^MDC|2|168430090|s|||||F
OBX|21|ST|739680^MDC_IDC_EPISODE_DETECTION_THERAPY_DETAILS^MDC|2|BEHANDELTE EPISODE:
SCHOCKIMPEDANZ= Außerhalb des zulässigen Bereichs LETZTE SCHOCKPOLARITÄT= STD|||||F
OBX|22|ST|739536^MDC_IDC_EPISODE_ID^MDC|3|2|||||F
OBX|23|DTM|739552^MDC_IDC_EPISODE_DTM^MDC|3|20131026082822|||||F
OBX|24|CWE|739568^MDC_IDC_EPISODE_TYPE^MDC|3|754881^MDC_IDC_ENUM_EPISODE_TYPE_Epis_VF^
MDC|||||F
OBX|25|CWE|739600^MDC_IDC_EPISODE_VENDOR_TYPE^MDC|3|771073^MDC_IDC_ENUM_EPISODE_VENDOR
_TYPE_BSX-Epis_VF^MDC|||||F
OBX|26|CWE|739584^MDC_IDC_EPISODE_TYPE_INDUCED^MDC|3|755330^MDC_IDC_ENUM_EPISODE_TYPE_
INDUCED_NO^MDC|||||F
OBX|27|NM|739712^MDC_IDC_EPISODE_DURATION^MDC|3|168430090|s|||||F
OBX|28|ST|739680^MDC_IDC_EPISODE_DETECTION_THERAPY_DETAILS^MDC|3|BEHANDELTE EPISODE:
SCHOCKIMPEDANZ= 138 Ohm LETZTE SCHOCKPOLARITÄT= REV|||||F
```



OBX|29|ST|739536^MDC\_IDC\_EPISODE\_ID^MDC|4|3|||||F  
OBX|30|DTM|739552^MDC\_IDC\_EPISODE\_DTM^MDC|4|20131026082822|||||F  
OBX|31|CWE|739568^MDC\_IDC\_EPISODE\_TYPE^MDC|4|754888^MDC\_IDC\_ENUM\_EPISODE\_TYPE\_Epis\_Other^MDC|||||F  
OBX|32|CWE|739600^MDC\_IDC\_EPISODE\_VENDOR\_TYPE^MDC|4|||||F  
OBX|33|CWE|739584^MDC\_IDC\_EPISODE\_TYPE\_INDUCED^MDC|4|755330^MDC\_IDC\_ENUM\_EPISODE\_TYPE\_INDUCED\_NO^MDC|||||F  
OBX|34|NM|739712^MDC\_IDC\_EPISODE\_DURATION^MDC|4|168430090|s|||||F  
OBX|35|ST|739680^MDC\_IDC\_EPISODE\_DETECTION\_THERAPY\_DETAILS^MDC|4|UNBEHANDELTE EPISODE|||||F  
OBX|36|ST|739536^MDC\_IDC\_EPISODE\_ID^MDC|5|4|||||F  
OBX|37|DTM|739552^MDC\_IDC\_EPISODE\_DTM^MDC|5|20131026082822|||||F  
OBX|38|CWE|739568^MDC\_IDC\_EPISODE\_TYPE^MDC|5|754888^MDC\_IDC\_ENUM\_EPISODE\_TYPE\_Epis\_Other^MDC|||||F  
OBX|39|CWE|739600^MDC\_IDC\_EPISODE\_VENDOR\_TYPE^MDC|5|||||F  
OBX|40|CWE|739584^MDC\_IDC\_EPISODE\_TYPE\_INDUCED^MDC|5|755330^MDC\_IDC\_ENUM\_EPISODE\_TYPE\_INDUCED\_NO^MDC|||||F  
OBX|41|NM|739712^MDC\_IDC\_EPISODE\_DURATION^MDC|5|168430090|s|||||F  
OBX|42|ST|739680^MDC\_IDC\_EPISODE\_DETECTION\_THERAPY\_DETAILS^MDC|5|UNBEHANDELTE EPISODE|||||F  
OBX|43|ST|739536^MDC\_IDC\_EPISODE\_ID^MDC|6|5|||||F  
OBX|44|DTM|739552^MDC\_IDC\_EPISODE\_DTM^MDC|6|20131026082822|||||F  
OBX|45|CWE|739568^MDC\_IDC\_EPISODE\_TYPE^MDC|6|754888^MDC\_IDC\_ENUM\_EPISODE\_TYPE\_Epis\_Other^MDC|||||F  
OBX|46|CWE|739600^MDC\_IDC\_EPISODE\_VENDOR\_TYPE^MDC|6|1|||||F  
OBX|47|CWE|739584^MDC\_IDC\_EPISODE\_TYPE\_INDUCED^MDC|6|755330^MDC\_IDC\_ENUM\_EPISODE\_TYPE\_INDUCED\_NO^MDC|1|1|1|1|1|F  
OBX|48|NM|739712^MDC\_IDC\_EPISODE\_DURATION^MDC|6|168430090|s|||||F  
OBX|49|ST|739680^MDC\_IDC\_EPISODE\_DETECTION\_THERAPY\_DETAILS^MDC|6|UNBEHANDELTE EPISODE|1|1|1|1|1|F  
OBX|50|ST|739536^MDC\_IDC\_EPISODE\_ID^MDC|7|6|1|1|1|1|1|F  
OBX|51|DTM|739552^MDC\_IDC\_EPISODE\_DTM^MDC|7|20131026082822|||||F  
OBX|52|CWE|739568^MDC\_IDC\_EPISODE\_TYPE^MDC|7|754888^MDC\_IDC\_ENUM\_EPISODE\_TYPE\_Epis\_Other^MDC|1|1|1|1|1|F  
OBX|53|CWE|739600^MDC\_IDC\_EPISODE\_VENDOR\_TYPE^MDC|7|1|1|1|1|1|F  
OBX|54|CWE|739584^MDC\_IDC\_EPISODE\_TYPE\_INDUCED^MDC|7|755330^MDC\_IDC\_ENUM\_EPISODE\_TYPE\_INDUCED\_NO^MDC|1|1|1|1|1|F  
OBX|55|NM|739712^MDC\_IDC\_EPISODE\_DURATION^MDC|7|168430090|s|1|1|1|1|1|F  
OBX|56|ST|739680^MDC\_IDC\_EPISODE\_DETECTION\_THERAPY\_DETAILS^MDC|7|UNBEHANDELTE EPISODE|1|1|1|1|1|F  
OBX|57|ST|739536^MDC\_IDC\_EPISODE\_ID^MDC|8|7|1|1|1|1|1|F  
OBX|58|DTM|739552^MDC\_IDC\_EPISODE\_DTM^MDC|8|20131026082822|||||F  
OBX|59|CWE|739568^MDC\_IDC\_EPISODE\_TYPE^MDC|8|754888^MDC\_IDC\_ENUM\_EPISODE\_TYPE\_Epis\_Other^MDC|||||F  
OBX|60|CWE|739600^MDC\_IDC\_EPISODE\_VENDOR\_TYPE^MDC|8|1|1|1|1|1|F  
OBX|61|CWE|739584^MDC\_IDC\_EPISODE\_TYPE\_INDUCED^MDC|8|755330^MDC\_IDC\_ENUM\_EPISODE\_TYPE\_INDUCED\_NO^MDC|||||F  
OBX|62|NM|739712^MDC\_IDC\_EPISODE\_DURATION^MDC|8|168430090|s|1|1|1|1|1|F  
OBX|63|ST|739680^MDC\_IDC\_EPISODE\_DETECTION\_THERAPY\_DETAILS^MDC|8|UNBEHANDELTE EPISODE|||||F  
OBX|64|ST|739536^MDC\_IDC\_EPISODE\_ID^MDC|9|8|1|1|1|1|1|F  
OBX|65|DTM|739552^MDC\_IDC\_EPISODE\_DTM^MDC|9|20131026082822|||||F  
OBX|66|CWE|739568^MDC\_IDC\_EPISODE\_TYPE^MDC|9|754888^MDC\_IDC\_ENUM\_EPISODE\_TYPE\_Epis\_Other^MDC|||||F  
OBX|67|CWE|739600^MDC\_IDC\_EPISODE\_VENDOR\_TYPE^MDC|9|1|1|1|1|1|F  
OBX|68|CWE|739584^MDC\_IDC\_EPISODE\_TYPE\_INDUCED^MDC|9|755330^MDC\_IDC\_ENUM\_EPISODE\_TYPE\_INDUCED\_NO^MDC|||||F  
OBX|69|NM|739712^MDC\_IDC\_EPISODE\_DURATION^MDC|9|168430090|s|1|1|1|1|1|F  
OBX|70|ST|739680^MDC\_IDC\_EPISODE\_DETECTION\_THERAPY\_DETAILS^MDC|9|UNBEHANDELTE EPISODE|||||F  
OBX|71|CWE|737952^MDC\_IDC\_STAT\_EPISODE\_TYPE^MDC|1|754888^MDC\_IDC\_ENUM\_EPISODE\_TYPE\_Epis\_Other^MDC|||||F



## Beispielnachricht 2 – Andere Geräte (keine S-ICD-Systeme)



MSH|^~\&|LATITUDE Link|BOSTON SCIENTIFIC||The  
Clinic|201410091414+0000||ORU^R01^ORU\_R01|55963301412864055078|P|2.6|||||UNICODE UTF-  
8|de^German||IHE\_PCD\_009^IHE\_PCD^1.3.6.1.4.1.19376.1.6.1.9.1^ISO  
PID|1||model:N118/serial:559633^^^BSX^U||TEST^SAMPLE||19530514|U  
PV1||R  
OBR|1||63|754050^MDC\_IDC\_ENUM\_SESS\_TYPE\_InClinic^MDC|||201410081240|||||||F  
NTE|1||Okt 08, 2014 12:40 - Ventrikulärer Tachy-Modus auf anderen Wert als  
Überwachung+Therapie eingestellt  
OBX|1|DTM|721025^MDC\_IDC\_SESS\_DTM^MDC||201410081240|||||F  
OBX|2|CWE|721026^MDC\_IDC\_SESS\_TYPE^MDC||754050^MDC\_IDC\_ENUM\_SESS\_TYPE\_InClinic^MDC|||  
||F  
OBX|3|ST|721033^MDC\_IDC\_SESS\_CLINIC\_NAME^MDC||The Clinic|||||F  
OBX|4|DTM|721216^MDC\_IDC\_MSMT\_BATTERY\_DTM^MDC||201410081240|||||F  
OBX|5|CWE|721280^MDC\_IDC\_MSMT\_BATTERY\_STATUS^MDC||754113^MDC\_IDC\_ENUM\_BATTERY\_STATUS\_B  
OS^MDC|||||F  
OBX|6|NM|721472^MDC\_IDC\_MSMT\_BATTERY\_REMAINING\_LONGEVITY^MDC||54|mo|||||F  
OBX|7|NM|721536^MDC\_IDC\_MSMT\_BATTERY\_REMAINING\_PERCENTAGE^MDC||81|%|||||F  
OBX|8|DTM|721664^MDC\_IDC\_MSMT\_CAP\_CHARGE\_DTM^MDC|1|201409291735|||||F  
OBX|9|NM|721728^MDC\_IDC\_MSMT\_CAP\_CHARGE\_TIME^MDC|1|9.5|s|||||F  
OBX|10|CWE|721856^MDC\_IDC\_MSMT\_CAP\_CHARGE\_TYPE^MDC|1|754178^MDC\_IDC\_ENUM\_CHARGE\_TYPE\_R  
eformation^MDC|||||F  
OBX|11|DTM|721664^MDC\_IDC\_MSMT\_CAP\_CHARGE\_DTM^MDC|2|201409171216|||||F  
OBX|12|NM|721728^MDC\_IDC\_MSMT\_CAP\_CHARGE\_TIME^MDC|2|0.4|s|||||F  
OBX|13|NM|721792^MDC\_IDC\_MSMT\_CAP\_CHARGE\_ENERGY^MDC|2|2|J|||||F  
OBX|14|CWE|721856^MDC\_IDC\_MSMT\_CAP\_CHARGE\_TYPE^MDC|2|754177^MDC\_IDC\_ENUM\_CHARGE\_TYPE\_S  
hock^MDC|||||F  
OBX|15|CWE|737952^MDC\_IDC\_STAT\_EPISODE\_TYPE^MDC|1|754881^MDC\_IDC\_ENUM\_EPISODE\_TYPE\_Epi  
s\_VF^MDC|||||F  
OBX|16|CWE|737984^MDC\_IDC\_STAT\_EPISODE\_VENDOR\_TYPE^MDC|1|771073^MDC\_IDC\_ENUM\_EPISODE\_V  
ENDOR\_TYPE\_BSX-Epis\_VF^MDC|||||F  
OBX|17|NM|738000^MDC\_IDC\_STAT\_EPISODE\_RECENT\_COUNT^MDC|1|2|||||F  
OBX|18|DTM|738017^MDC\_IDC\_STAT\_EPISODE\_RECENT\_COUNT\_DTM\_START^MDC|1|20140603|||||F  
OBX|19|DTM|738018^MDC\_IDC\_STAT\_EPISODE\_RECENT\_COUNT\_DTM\_END^MDC|1|20141008|||||F  
OBX|20|CWE|737952^MDC\_IDC\_STAT\_EPISODE\_TYPE^MDC|2|754882^MDC\_IDC\_ENUM\_EPISODE\_TYPE\_Epi  
s\_VT^MDC|||||F  
OBX|21|CWE|737984^MDC\_IDC\_STAT\_EPISODE\_VENDOR\_TYPE^MDC|2|771074^MDC\_IDC\_ENUM\_EPISODE\_V  
ENDOR\_TYPE\_BSX-Epis\_VT^MDC|||||F  
OBX|22|NM|738000^MDC\_IDC\_STAT\_EPISODE\_RECENT\_COUNT^MDC|2|0|||||F  
OBX|23|DTM|738017^MDC\_IDC\_STAT\_EPISODE\_RECENT\_COUNT\_DTM\_START^MDC|2|20140603|||||F  
OBX|24|DTM|738018^MDC\_IDC\_STAT\_EPISODE\_RECENT\_COUNT\_DTM\_END^MDC|2|20141008|||||F  
OBX|25|CWE|737952^MDC\_IDC\_STAT\_EPISODE\_TYPE^MDC|3|754882^MDC\_IDC\_ENUM\_EPISODE\_TYPE\_Epi  
s\_VT^MDC|||||F  
OBX|26|CWE|737984^MDC\_IDC\_STAT\_EPISODE\_VENDOR\_TYPE^MDC|3|771075^MDC\_IDC\_ENUM\_EPISODE\_V  
ENDOR\_TYPE\_BSX-Epis\_VT-1^MDC|||||F  
OBX|27|NM|738000^MDC\_IDC\_STAT\_EPISODE\_RECENT\_COUNT^MDC|3|3|||||F  
OBX|28|DTM|738017^MDC\_IDC\_STAT\_EPISODE\_RECENT\_COUNT\_DTM\_START^MDC|3|20140603|||||F  
OBX|29|DTM|738018^MDC\_IDC\_STAT\_EPISODE\_RECENT\_COUNT\_DTM\_END^MDC|3|20141008|||||F  
OBX|30|CWE|737952^MDC\_IDC\_STAT\_EPISODE\_TYPE^MDC|4|754885^MDC\_IDC\_ENUM\_EPISODE\_TYPE\_Epi  
s\_Monitor^MDC|||||F  
OBX|31|CWE|737984^MDC\_IDC\_STAT\_EPISODE\_VENDOR\_TYPE^MDC|4|||||F  
OBX|32|NM|738000^MDC\_IDC\_STAT\_EPISODE\_RECENT\_COUNT^MDC|4|0|||||F  
OBX|33|DTM|738017^MDC\_IDC\_STAT\_EPISODE\_RECENT\_COUNT\_DTM\_START^MDC|4|20140603|||||F  
OBX|34|DTM|738018^MDC\_IDC\_STAT\_EPISODE\_RECENT\_COUNT\_DTM\_END^MDC|4|20141008|||||F  
OBX|35|CWE|737952^MDC\_IDC\_STAT\_EPISODE\_TYPE^MDC|5|754888^MDC\_IDC\_ENUM\_EPISODE\_TYPE\_Epi  
s\_Other^MDC|||||F  
OBX|36|CWE|737984^MDC\_IDC\_STAT\_EPISODE\_VENDOR\_TYPE^MDC|5|||||F  
OBX|37|NM|738000^MDC\_IDC\_STAT\_EPISODE\_RECENT\_COUNT^MDC|5|0|||||F  
OBX|38|DTM|738017^MDC\_IDC\_STAT\_EPISODE\_RECENT\_COUNT\_DTM\_START^MDC|5|20140603|||||F  
OBX|39|DTM|738018^MDC\_IDC\_STAT\_EPISODE\_RECENT\_COUNT\_DTM\_END^MDC|5|20141008|||||F

OBX|40|CWE|737952^MDC\_IDC\_STAT\_EPISODE\_TYPE^MDC|6|754882^MDC\_IDC\_ENUM\_EPISODE\_TYPE\_Epi  
 s\_VT^MDC|||||F  
 OBX|41|CWE|737984^MDC\_IDC\_STAT\_EPISODE\_VENDOR\_TYPE^MDC|6|771077^MDC\_IDC\_ENUM\_EPISODE\_V  
 ENDOR\_TYPE\_BSX-Epis\_NSVT^MDC|||||F  
 OBX|42|NM|738000^MDC\_IDC\_STAT\_EPISODE\_RECENT\_COUNT^MDC|6|0|||||F  
 OBX|43|DTM|738017^MDC\_IDC\_STAT\_EPISODE\_RECENT\_COUNT\_DTM\_START^MDC|6|20140603|||||F  
 OBX|44|DTM|738018^MDC\_IDC\_STAT\_EPISODE\_RECENT\_COUNT\_DTM\_END^MDC|6|20141008|||||F  
 OBX|45|CWE|737952^MDC\_IDC\_STAT\_EPISODE\_TYPE^MDC|7|754883^MDC\_IDC\_ENUM\_EPISODE\_TYPE\_Epi  
 s\_ATAF^MDC|||||F  
 OBX|46|CWE|737984^MDC\_IDC\_STAT\_EPISODE\_VENDOR\_TYPE^MDC|7|771078^MDC\_IDC\_ENUM\_EPISODE\_V  
 ENDOR\_TYPE\_BSX-Epis\_ATR^MDC|||||F  
 OBX|47|NM|738000^MDC\_IDC\_STAT\_EPISODE\_RECENT\_COUNT^MDC|7|3|||||F  
 OBX|48|DTM|738017^MDC\_IDC\_STAT\_EPISODE\_RECENT\_COUNT\_DTM\_START^MDC|7|20140603|||||F  
 OBX|49|DTM|738018^MDC\_IDC\_STAT\_EPISODE\_RECENT\_COUNT\_DTM\_END^MDC|7|20141008|||||F  
 OBX|50|ED|18750-0^Cardiac Electrophysiology Report^LN||Application^PDF^^Base64^{Hier  
 befindet sich eine kodierte PDF-Datei}|||||F||201410081240  
 OBX|51|CWE|731392^MDC\_IDC\_SET\_BRADY\_AT\_MODE\_SWITCH\_MODE^MDC||754778^MDC\_IDC\_ENUM\_BRADY  
 \_MODE\_VDI^MDC|||||F  
 OBX|52|NM|731456^MDC\_IDC\_SET\_BRADY\_AT\_MODE\_SWITCH\_RATE^MDC||170|{beats}/min|||||F  
 OBX|53|NM|729344^MDC\_IDC\_SET\_CRT\_LVRV\_DELAY^MDC||0|ms|||||F  
 OBX|54|CWE|729408^MDC\_IDC\_SET\_CRT\_PACED\_CHAMBERS^MDC||755267^MDC\_IDC\_ENUM\_CRT\_PACED\_CH  
 AMBERS\_BiV^MDC|||||F  
 OBX|55|CWE|730752^MDC\_IDC\_SET\_BRADY\_MODE^MDC||754760^MDC\_IDC\_ENUM\_BRADY\_MODE\_DDD^MDC||  
 |||F  
 OBX|56|NM|730880^MDC\_IDC\_SET\_BRADY\_LOWRATE^MDC||65|{beats}/min|||||F  
 OBX|57|NM|731136^MDC\_IDC\_SET\_BRADY\_MAX\_TRACKING\_RATE^MDC||115|{beats}/min|||||F  
 OBX|58|NM|731265^MDC\_IDC\_SET\_BRADY\_SAV\_DELAY\_HIGH^MDC||80|ms|||||F  
 OBX|59|NM|731329^MDC\_IDC\_SET\_BRADY\_PAV\_DELAY\_HIGH^MDC||130|ms|||||F  
 OBX|60|CWE|731520^MDC\_IDC\_SET\_TACHYTHERAPY\_VSTAT^MDC||754818^MDC\_IDC\_ENUM\_THERAPY\_STAT  
 US\_Off^MDC|||||F  
 OBX|61|CWE|731648^MDC\_IDC\_SET\_ZONE\_TYPE^MDC|1|754945^MDC\_IDC\_ENUM\_ZONE\_TYPE\_Zone\_VF^MD  
 C|||||F  
 OBX|62|CWE|731712^MDC\_IDC\_SET\_ZONE\_VENDOR\_TYPE^MDC|1|771139^MDC\_IDC\_ENUM\_ZONE\_VENDOR\_T  
 YPE\_BSX-Zone\_VF^MDC|||||F  
 OBX|63|CWE|731776^MDC\_IDC\_SET\_ZONE\_STATUS^MDC|1|755011^MDC\_IDC\_ENUM\_ZONE\_STATUS\_Monito  
 r^MDC|||||F  
 OBX|64|NM|731840^MDC\_IDC\_SET\_ZONE\_DETECTION\_INTERVAL^MDC|1|300|ms|||||F  
 OBX|65|CWE|731648^MDC\_IDC\_SET\_ZONE\_TYPE^MDC|2|754946^MDC\_IDC\_ENUM\_ZONE\_TYPE\_Zone\_VT^MD  
 C|||||F  
 OBX|66|CWE|731712^MDC\_IDC\_SET\_ZONE\_VENDOR\_TYPE^MDC|2|771137^MDC\_IDC\_ENUM\_ZONE\_VENDOR\_T  
 YPE\_BSX-Zone\_VT^MDC|||||F  
 OBX|67|CWE|731776^MDC\_IDC\_SET\_ZONE\_STATUS^MDC|2|755011^MDC\_IDC\_ENUM\_ZONE\_STATUS\_Monito  
 r^MDC|||||F  
 OBX|68|NM|731840^MDC\_IDC\_SET\_ZONE\_DETECTION\_INTERVAL^MDC|2|375|ms|||||F  
 OBX|69|CWE|731648^MDC\_IDC\_SET\_ZONE\_TYPE^MDC|3|754946^MDC\_IDC\_ENUM\_ZONE\_TYPE\_Zone\_VT^MD  
 C|||||F  
 OBX|70|CWE|731712^MDC\_IDC\_SET\_ZONE\_VENDOR\_TYPE^MDC|3|771138^MDC\_IDC\_ENUM\_ZONE\_VENDOR\_T  
 YPE\_BSX-Zone\_VT-1^MDC|||||F  
 OBX|71|CWE|731776^MDC\_IDC\_SET\_ZONE\_STATUS^MDC|3|755011^MDC\_IDC\_ENUM\_ZONE\_STATUS\_Monito  
 r^MDC|||||F  
 OBX|72|NM|731840^MDC\_IDC\_SET\_ZONE\_DETECTION\_INTERVAL^MDC|3|429|ms|||||F  
 OBX|73|NM|729536^MDC\_IDC\_SET\_LEADCHNL\_RA\_SENSING\_SENSITIVITY^MDC||0.25|mV|||||F  
 OBX|74|CWE|729920^MDC\_IDC\_SET\_LEADCHNL\_RA\_SENSING\_ADAPTATION\_MODE^MDC||754625^MDC\_IDC\_  
 ENUM\_SENSING\_ADAPTATION\_MODE\_AdaptiveSensing^MDC|||||F  
 OBX|75|CWE|729600^MDC\_IDC\_SET\_LEADCHNL\_RA\_SENSING\_POLARITY^MDC||754306^MDC\_IDC\_ENUM\_PO  
 LARITY\_BI^MDC|||||F  
 OBX|76|NM|729537^MDC\_IDC\_SET\_LEADCHNL\_RV\_SENSING\_SENSITIVITY^MDC||0.6|mV|||||F  
 OBX|77|CWE|729921^MDC\_IDC\_SET\_LEADCHNL\_RV\_SENSING\_ADAPTATION\_MODE^MDC||754625^MDC\_IDC\_  
 ENUM\_SENSING\_ADAPTATION\_MODE\_AdaptiveSensing^MDC|||||F  
 OBX|78|CWE|729601^MDC\_IDC\_SET\_LEADCHNL\_RV\_SENSING\_POLARITY^MDC||754306^MDC\_IDC\_ENUM\_PO  
 LARITY\_BI^MDC|||||F  
 OBX|79|NM|729539^MDC\_IDC\_SET\_LEADCHNL\_LV\_SENSING\_SENSITIVITY^MDC||1.0|mV|||||F

OBX|80|CWE|729923^MDC\_IDC\_SET\_LEADCHNL\_LV\_SENSING\_ADAPTATION\_MODE^MDC||754625^MDC\_IDC\_ENUM\_SENSING\_ADAPTATION\_MODE\_AdaptiveSensing^MDC|||||F  
 OBX|81|CWE|729676^MDC\_IDC\_SET\_LEADCHNL\_LV\_SENSING\_ANODE\_LOCATION^MDC||754498^MDC\_IDC\_ENUM\_ELECTRODE\_LOCATION\_RV^MDC|||||F  
 OBX|82|CWE|729804^MDC\_IDC\_SET\_LEADCHNL\_LV\_SENSING\_CATHODE\_LOCATION^MDC||754500^MDC\_IDC\_ENUM\_ELECTRODE\_LOCATION\_LV^MDC|||||F  
 OBX|83|CWE|729868^MDC\_IDC\_SET\_LEADCHNL\_LV\_SENSING\_CATHODE\_ELECTRODE^MDC||754561^MDC\_IDC\_ENUM\_ELECTRODE\_NAME\_Tip^MDC|||||F  
 OBX|84|NM|729984^MDC\_IDC\_SET\_LEADCHNL\_RA\_PACING\_AMPLITUDE^MDC||2.5|V|||||F  
 OBX|85|NM|730048^MDC\_IDC\_SET\_LEADCHNL\_RA\_PACING\_PULSEWIDTH^MDC||0.4|ms|||||F  
 OBX|86|CWE|730112^MDC\_IDC\_SET\_LEADCHNL\_RA\_PACING\_POLARITY^MDC||754306^MDC\_IDC\_ENUM\_POLARITY\_BI^MDC|||||F  
 OBX|87|NM|729985^MDC\_IDC\_SET\_LEADCHNL\_RV\_PACING\_AMPLITUDE^MDC||2.5|V|||||F  
 OBX|88|NM|730049^MDC\_IDC\_SET\_LEADCHNL\_RV\_PACING\_PULSEWIDTH^MDC||0.4|ms|||||F  
 OBX|89|CWE|730113^MDC\_IDC\_SET\_LEADCHNL\_RV\_PACING\_POLARITY^MDC||754306^MDC\_IDC\_ENUM\_POLARITY\_BI^MDC|||||F  
 OBX|90|NM|729987^MDC\_IDC\_SET\_LEADCHNL\_LV\_PACING\_AMPLITUDE^MDC||2.5|V|||||F  
 OBX|91|NM|730051^MDC\_IDC\_SET\_LEADCHNL\_LV\_PACING\_PULSEWIDTH^MDC||0.4|ms|||||F  
 OBX|92|CWE|730188^MDC\_IDC\_SET\_LEADCHNL\_LV\_PACING\_ANODE\_LOCATION^MDC||754498^MDC\_IDC\_ENUM\_ELECTRODE\_LOCATION\_RV^MDC|||||F  
 OBX|93|CWE|730316^MDC\_IDC\_SET\_LEADCHNL\_LV\_PACING\_CATHODE\_LOCATION^MDC||754500^MDC\_IDC\_ENUM\_ELECTRODE\_LOCATION\_LV^MDC|||||F  
 OBX|94|CWE|730380^MDC\_IDC\_SET\_LEADCHNL\_LV\_PACING\_CATHODE\_ELECTRODE^MDC||754561^MDC\_IDC\_ENUM\_ELECTRODE\_NAME\_Tip^MDC|||||F  
 OBX|95|CWE|720897^MDC\_IDC\_DEV\_TYPE^MDC||753667^MDC\_IDC\_ENUM\_DEV\_TYPE\_CRT\_D^MDC|||||F  
 OBX|96|ST|720898^MDC\_IDC\_DEV\_MODEL^MDC||N118|||||F  
 OBX|97|ST|720899^MDC\_IDC\_DEV\_SERIAL^MDC||559633|||||F  
 OBX|98|CWE|720900^MDC\_IDC\_DEV\_MFG^MDC||753732^MDC\_IDC\_ENUM\_MFG\_BSX^MDC|||||F  
 OBX|99|DTM|720901^MDC\_IDC\_DEV\_IMPLANT\_DT^MDC||20081009|||||F  
 OBX|100|DTM|721921^MDC\_IDC\_MSMT\_LEADCHNL\_RA\_DTM\_START^MDC||20141008|||||F  
 OBX|101|NM|722051^MDC\_IDC\_MSMT\_LEADCHNL\_RA\_SENSING\_INTR\_AMPL\_MEAN^MDC||3.0|mV|||||F|||20141008  
 OBX|102|CWE|722112^MDC\_IDC\_MSMT\_LEADCHNL\_RA\_SENSING\_POLARITY^MDC||754306^MDC\_IDC\_ENUM\_POLARITY\_BI^MDC|||||F  
 OBX|103|NM|722176^MDC\_IDC\_MSMT\_LEADCHNL\_RA\_PACING\_THRESHOLD\_AMPLITUDE^MDC||1.3|V|||||F|||20141008  
 OBX|104|NM|722240^MDC\_IDC\_MSMT\_LEADCHNL\_RA\_PACING\_THRESHOLD\_PULSEWIDTH^MDC||0.4|ms|||||F|||20141008  
 OBX|105|CWE|722304^MDC\_IDC\_MSMT\_LEADCHNL\_RA\_PACING\_THRESHOLD\_MEASUREMENT\_METHOD^MDC||754369^MDC\_IDC\_ENUM\_MEASUREMENT\_METHOD\_ProgrammerManual^MDC|||||F  
 OBX|106|CWE|722368^MDC\_IDC\_MSMT\_LEADCHNL\_RA\_PACING\_THRESHOLD\_POLARITY^MDC||754306^MDC\_IDC\_ENUM\_POLARITY\_BI^MDC|||||F  
 OBX|107|NM|722432^MDC\_IDC\_MSMT\_LEADCHNL\_RA\_IMPEDANCE\_VALUE^MDC||544|ohms|||||F|||20141008  
 OBX|108|CWE|722496^MDC\_IDC\_MSMT\_LEADCHNL\_RA\_IMPEDANCE\_POLARITY^MDC||754306^MDC\_IDC\_ENUM\_POLARITY\_BI^MDC|||||F  
 OBX|109|DTM|721925^MDC\_IDC\_MSMT\_LEADCHNL\_RV\_DTM\_START^MDC||20141008|||||F  
 OBX|110|NM|722055^MDC\_IDC\_MSMT\_LEADCHNL\_RV\_SENSING\_INTR\_AMPL\_MEAN^MDC||5.6|mV|||||F|||20141008  
 OBX|111|CWE|722113^MDC\_IDC\_MSMT\_LEADCHNL\_RV\_SENSING\_POLARITY^MDC||754306^MDC\_IDC\_ENUM\_POLARITY\_BI^MDC|||||F  
 OBX|112|NM|722177^MDC\_IDC\_MSMT\_LEADCHNL\_RV\_PACING\_THRESHOLD\_AMPLITUDE^MDC||1.7|V|||||F|||20141008  
 OBX|113|NM|722241^MDC\_IDC\_MSMT\_LEADCHNL\_RV\_PACING\_THRESHOLD\_PULSEWIDTH^MDC||0.4|ms|||||F|||20141008  
 OBX|114|CWE|722305^MDC\_IDC\_MSMT\_LEADCHNL\_RV\_PACING\_THRESHOLD\_MEASUREMENT\_METHOD^MDC||754369^MDC\_IDC\_ENUM\_MEASUREMENT\_METHOD\_ProgrammerManual^MDC|||||F  
 OBX|115|CWE|722369^MDC\_IDC\_MSMT\_LEADCHNL\_RV\_PACING\_THRESHOLD\_POLARITY^MDC||754306^MDC\_IDC\_ENUM\_POLARITY\_BI^MDC|||||F  
 OBX|116|NM|722433^MDC\_IDC\_MSMT\_LEADCHNL\_RV\_IMPEDANCE\_VALUE^MDC||494|ohms|||||F|||20141008  
 OBX|117|CWE|722497^MDC\_IDC\_MSMT\_LEADCHNL\_RV\_IMPEDANCE\_POLARITY^MDC||754306^MDC\_IDC\_ENUM\_POLARITY\_BI^MDC|||||F

OBX|118|DTM|721933^MDC\_IDC\_MSMT\_LEADCHNL\_LV\_DTM\_START^MDC||20141008|||||F  
 OBX|119|NM|722063^MDC\_IDC\_MSMT\_LEADCHNL\_LV\_SENSING\_INTR\_AMPL\_MEAN^MDC||mV|NAV|||F|||  
 20141008  
 OBX|120|CWE|722115^MDC\_IDC\_MSMT\_LEADCHNL\_LV\_SENSING\_POLARITY^MDC||754305^MDC\_IDC\_ENUM\_  
 POLARITY\_UNI^MDC|||||F  
 OBX|121|NM|722179^MDC\_IDC\_MSMT\_LEADCHNL\_LV\_PACING\_THRESHOLD\_AMPLITUDE^MDC||1.8|V|||||F  
 |||20141008  
 OBX|122|NM|722243^MDC\_IDC\_MSMT\_LEADCHNL\_LV\_PACING\_THRESHOLD\_PULSEWIDTH^MDC||0.4|ms||||  
 |F|||20141008  
 OBX|123|CWE|722307^MDC\_IDC\_MSMT\_LEADCHNL\_LV\_PACING\_THRESHOLD\_MEASUREMENT\_METHOD^MDC||7  
 54369^MDC\_IDC\_ENUM\_MEASUREMENT\_METHOD\_ProgrammerManual^MDC|||||F  
 OBX|124|CWE|722371^MDC\_IDC\_MSMT\_LEADCHNL\_LV\_PACING\_THRESHOLD\_POLARITY^MDC||754305^MDC\_  
 IDC\_ENUM\_POLARITY\_UNI^MDC|||||F  
 OBX|125|NM|722435^MDC\_IDC\_MSMT\_LEADCHNL\_LV\_IMPEDANCE\_VALUE^MDC||604|ohms|||||F|||20141008  
 OBX|126|CWE|722499^MDC\_IDC\_MSMT\_LEADCHNL\_LV\_IMPEDANCE\_POLARITY^MDC||754305^MDC\_IDC\_ENU  
 M\_POLARITY\_UNI^MDC|||||F  
 OBX|127|DTM|722560^MDC\_IDC\_MSMT\_LEADHVCHNL\_DTM\_START^MDC|1|20141008|||||F  
 OBX|128|NM|722624^MDC\_IDC\_MSMT\_LEADHVCHNL\_IMPEDANCE^MDC|1|55|ohms|||||F  
 OBX|129|CWE|722688^MDC\_IDC\_MSMT\_LEADHVCHNL\_MEASUREMENT\_TYPE^MDC|1|754433^MDC\_IDC\_ENUM\_  
 HVCHNL\_MEASUREMENT\_TYPE\_LowVoltage^MDC|||||F  
 OBX|130|DTM|737489^MDC\_IDC\_STAT\_DTM\_START^MDC||20140603|||||F  
 OBX|131|DTM|737490^MDC\_IDC\_STAT\_DTM\_END^MDC||20141008|||||F  
 OBX|132|DTM|737505^MDC\_IDC\_STAT\_BRADY\_DTM\_START^MDC||20140603|||||F  
 OBX|133|DTM|737506^MDC\_IDC\_STAT\_BRADY\_DTM\_END^MDC||20141008|||||F  
 OBX|134|NM|737520^MDC\_IDC\_STAT\_BRADY\_RA\_PERCENT\_PACED^MDC||1|%|||||F  
 OBX|135|NM|737536^MDC\_IDC\_STAT\_BRADY\_RV\_PERCENT\_PACED^MDC||100|%|||||F  
 OBX|136|DTM|737777^MDC\_IDC\_STAT\_CRT\_DTM\_START^MDC||20140603|||||F  
 OBX|137|DTM|737778^MDC\_IDC\_STAT\_CRT\_DTM\_END^MDC||20141008|||||F  
 OBX|138|NM|737792^MDC\_IDC\_STAT\_CRT\_LV\_PERCENT\_PACED^MDC||100|%|||||F  
 OBX|139|DTM|737665^MDC\_IDC\_STAT\_AT\_DTM\_START^MDC||20140605|||||F  
 OBX|140|DTM|737666^MDC\_IDC\_STAT\_AT\_DTM\_END^MDC||20141008|||||F  
 OBX|141|NM|737696^MDC\_IDC\_STAT\_AT\_BURDEN\_PERCENT^MDC||1|%||<|||F  
 OBX|142|DTM|737937^MDC\_IDC\_STAT\_TACHYTHERAPY\_RECENT\_DTM\_START^MDC||20140603|||||F  
 OBX|143|DTM|737938^MDC\_IDC\_STAT\_TACHYTHERAPY\_RECENT\_DTM\_END^MDC||20141008|||||F  
 OBX|144|NM|737824^MDC\_IDC\_STAT\_TACHYTHERAPY\_SHOCKS\_DELIVERED\_RECENT^MDC||3|||||F  
 OBX|145|DTM|737921^MDC\_IDC\_STAT\_TACHYTHERAPY\_TOTAL\_DTM\_START^MDC||20081009|||||F  
 OBX|146|DTM|737922^MDC\_IDC\_STAT\_TACHYTHERAPY\_TOTAL\_DTM\_END^MDC||20141008|||||F  
 OBX|147|NM|737840^MDC\_IDC\_STAT\_TACHYTHERAPY\_SHOCKS\_DELIVERED\_TOTAL^MDC||53|||||F  
 OBX|148|NM|737856^MDC\_IDC\_STAT\_TACHYTHERAPY\_SHOCKS\_ABORTED\_RECENT^MDC||1|||||F  
 OBX|149|NM|737872^MDC\_IDC\_STAT\_TACHYTHERAPY\_SHOCKS\_ABORTED\_TOTAL^MDC||5|||||F  
 OBX|150|NM|737888^MDC\_IDC\_STAT\_TACHYTHERAPY\_ATP\_DELIVERED\_RECENT^MDC||3|||||F  
 OBX|151|NM|737904^MDC\_IDC\_STAT\_TACHYTHERAPY\_ATP\_DELIVERED\_TOTAL^MDC||35|||||F

## Definition der in diesem Handbuch verwendeten Symbole

	Hersteller
	Autorisierter Repräsentant in der Europäischen Gemeinschaft

Outdated version. Do not use.  
 Version überholt. Nicht verwenden.  
 Version obsolete. Ne pas utiliser.  
 Versión obsoleta. No utilizar.  
 Versione obsoleta. Non utilizzate.  
 Verouderde versie. Niet gebruiken.  
 Föråldrad version. Använd ej.  
 Παλιά έκδοση. Μην την χρησιμοποιείτε.  
 Versão obsoleta. Não utilize.  
 Forældet version. Må ikke anvendes.  
 Zastaralá verze. Nepoužívat.  
 Utdatert versjon. Skal ikke brukes.  
 Zastaraná verzia. Nepoužívať.  
 Elavult verzió. Ne használja!  
 Wersja nieaktualna. Nie używać.

Outdated version. Do not use.  
Version überholt. Nicht verwenden.  
Version obsolète. Ne pas utiliser.  
Versión obsoleta. No utilizar.  
Versione obsoleta. Non utilizzare.  
Verouderde versie. Niet gebruiken.  
Föråldrad version. Använd ej.  
Παλιά έκδοση. Μην την χρησιμοποιείτε.  
Versão obsoleta. Não utilize.  
Forældet version. Må ikke anvendes.  
Zastaralá verze. Nepoužívat.  
Utdatert versjon. Skal ikke brukes.  
Zastaraná verzia. Nepoužívať.  
Elavult verzió. Ne használja!  
Wersja nieaktualna. Nie używać.



Outdated version. Do not use.  
Version überholt. Nicht verwenden.  
Version obsolète. Ne pas utiliser.  
Versión obsoleta. No utilizar.  
Versione obsoleta. Non utilizzare.  
Verouderde versie. Niet gebruiken.  
Föråldrad version. Använd ej.  
Παλιά έκδοση. Μην την χρησιμοποιείτε.  
Versão obsoleta. Não utilize.  
Forældet version. Må ikke anvendes.  
Zastaralá verze. Nepoužívat.  
Utdatert versjon. Skal ikke brukes.  
Zastaraná verzia. Nepoužívať.  
Elavult verzió. Ne használja!  
Wersja nieaktualna. Nie używać.

# Boston Scientific



Boston Scientific  
4100 Hamline Avenue North  
St. Paul, MN 55112-5798 USA

1.800.CARDIAC (227.3422)  
+1.651.582.4000

[www.bostonscientific.com](http://www.bostonscientific.com)



Guidant Europe NV/SA  
Boston Scientific  
Green Square,  
Lambroekstraat 5D  
1831 Diegem, Belgium

1.800.CARDIAC (227.3422)  
+1.651.582.4000

[www.bostonscientific.com](http://www.bostonscientific.com)

© 2014 Boston Scientific Corporation or its affiliates.  
All rights reserved.

359384-002 DE 2014-08

